

THMB: um modelo do hidrologia global

Michael T. Coe
The Woods Hole Research Center

III Workshop do IBIS/INLAND

23 fevereiro, 2010

Viçosa, Brazil

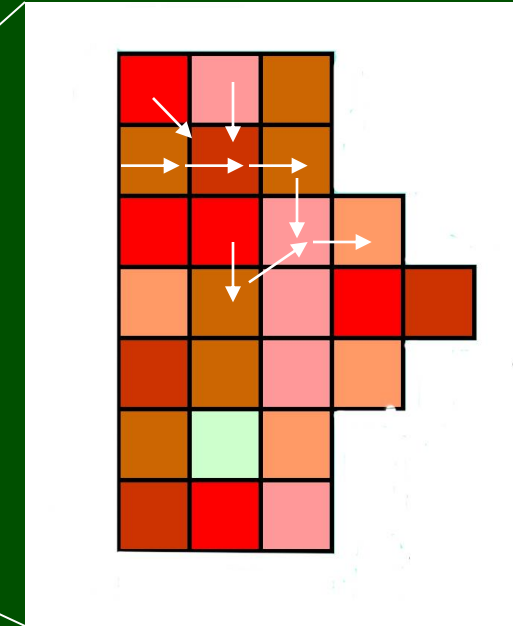




THMB: um modelo mecanistico para simular a hidrologia global

- Suficiente simples para usar com modelos global
- Suficiente complexo para representar os processos fisicos e para ser sensível a mudanças (usas da terra, mudanças climáticas)
- Capacidade de funcionar em resolução baixa e alta
- Capaz de expandir para modelar bioquímica, temperatura, oxigenio dissolvido, sedimento

A paisagem como um grid



Cada caixinha contem características medias da paisagem

- morfologia
- clima
- manejo

Cada caixinha são ligado do grid com caminhos de fluxo dos rios.

THMB combina:

- Dados climáticos (escoamento superficial e sub-superficial e perda de nitrato do IBIS)
- Morfologia superficial do modelo digital de elevação SRTM

Para calcular:

- Transporte fluvial traversando as superfícies terrestres até chegar aos oceanos e bacias de drenagem continentais.
- Abasteçimento de água em lagos, áreas inundadas, e reservatórios.
- Transporte de solutos em sistemas fluviais (nitrogênio actualmente, carbono no futuro).

THMB

O volume da água em cada caixa é representada por equações simples

$$dV/dt = R(1-A_w) + (P-E)A_w + (\sum F_{in} - F_{out})$$

A_w = área da água no rio e inundação previsto para modelo

$R = R_{surface} + R_{sub-surface}$ (escoamento local)

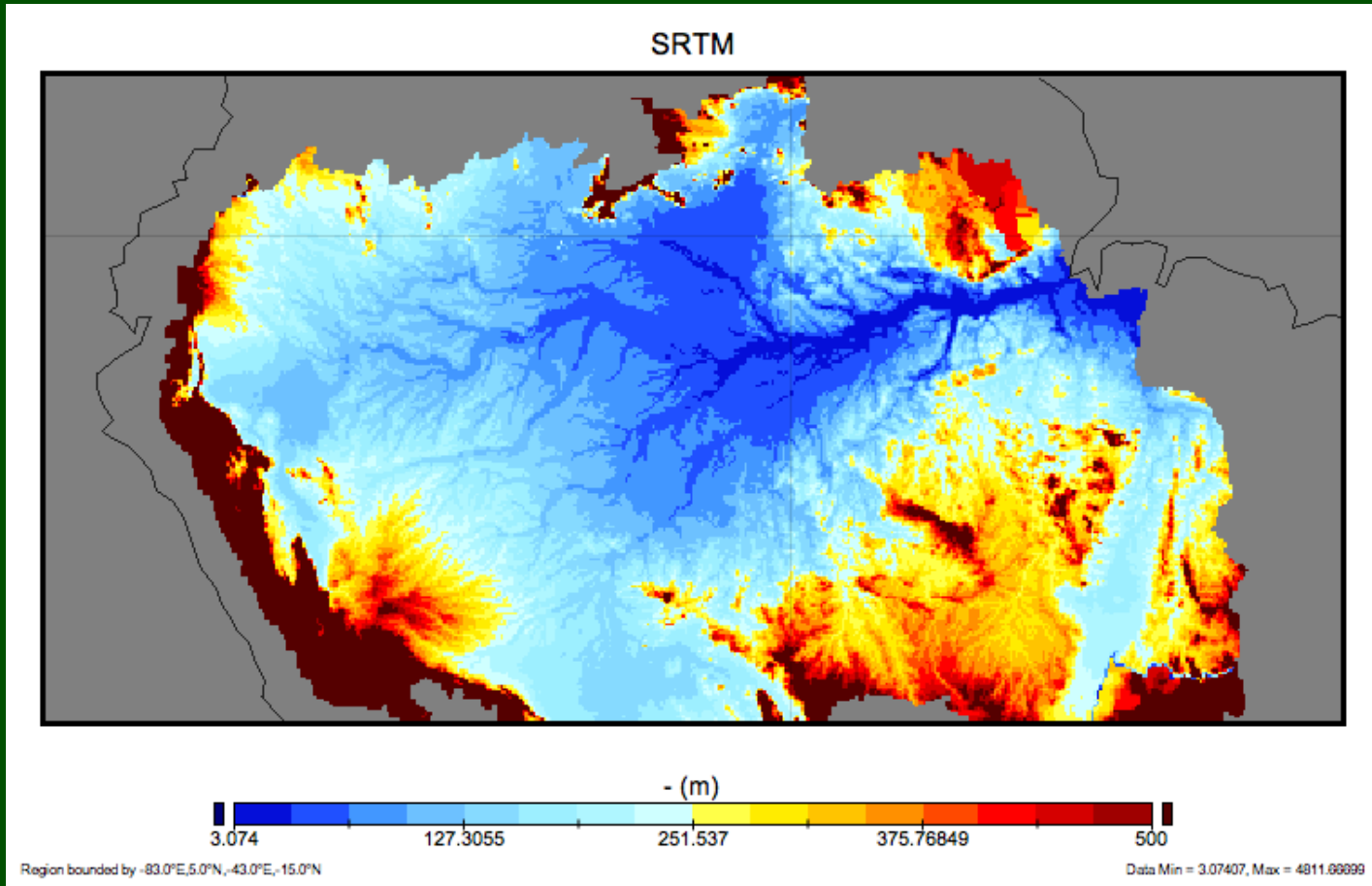
E = evaporação da água

$\sum F_{in} = \sum F_{out}$ (input montante)

$F_{out} = V(u/d)$ (descarga jusante)

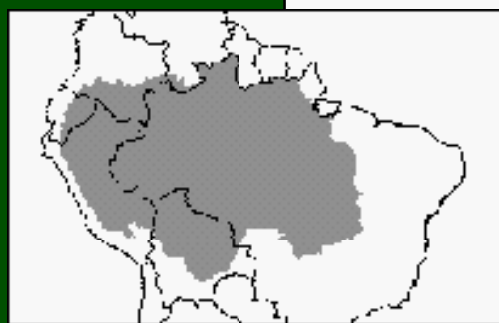
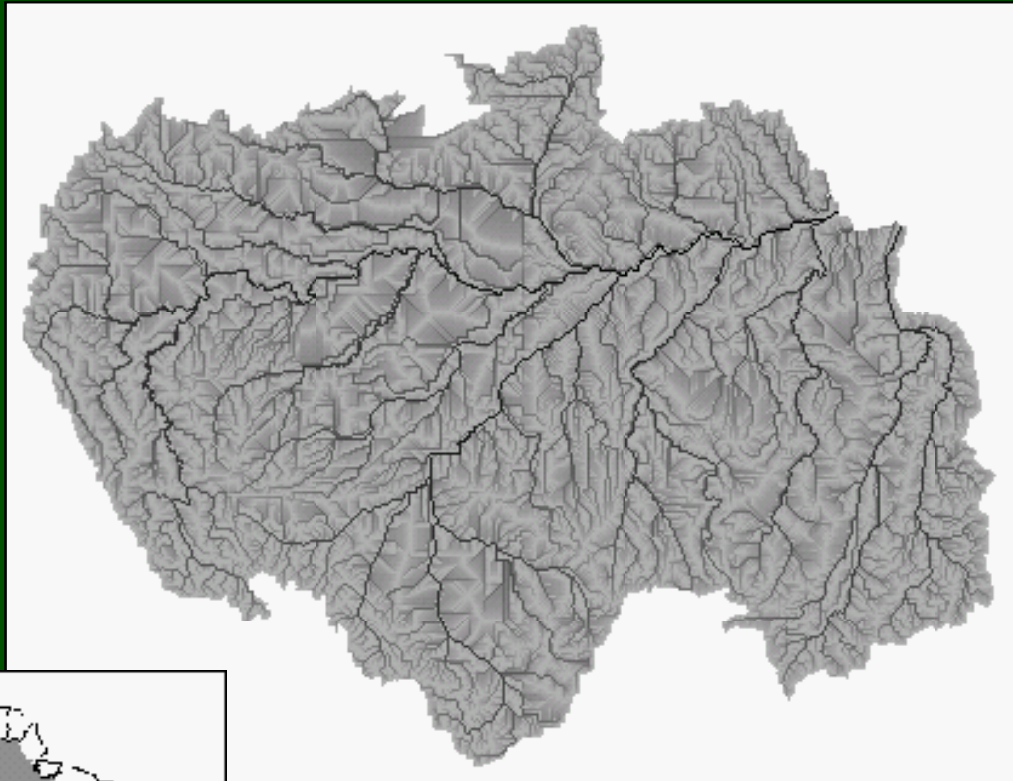
A massa é conservada -- toda a água que entra no rio é descargada pelo oceano ou é evaporada.

Área de inundação



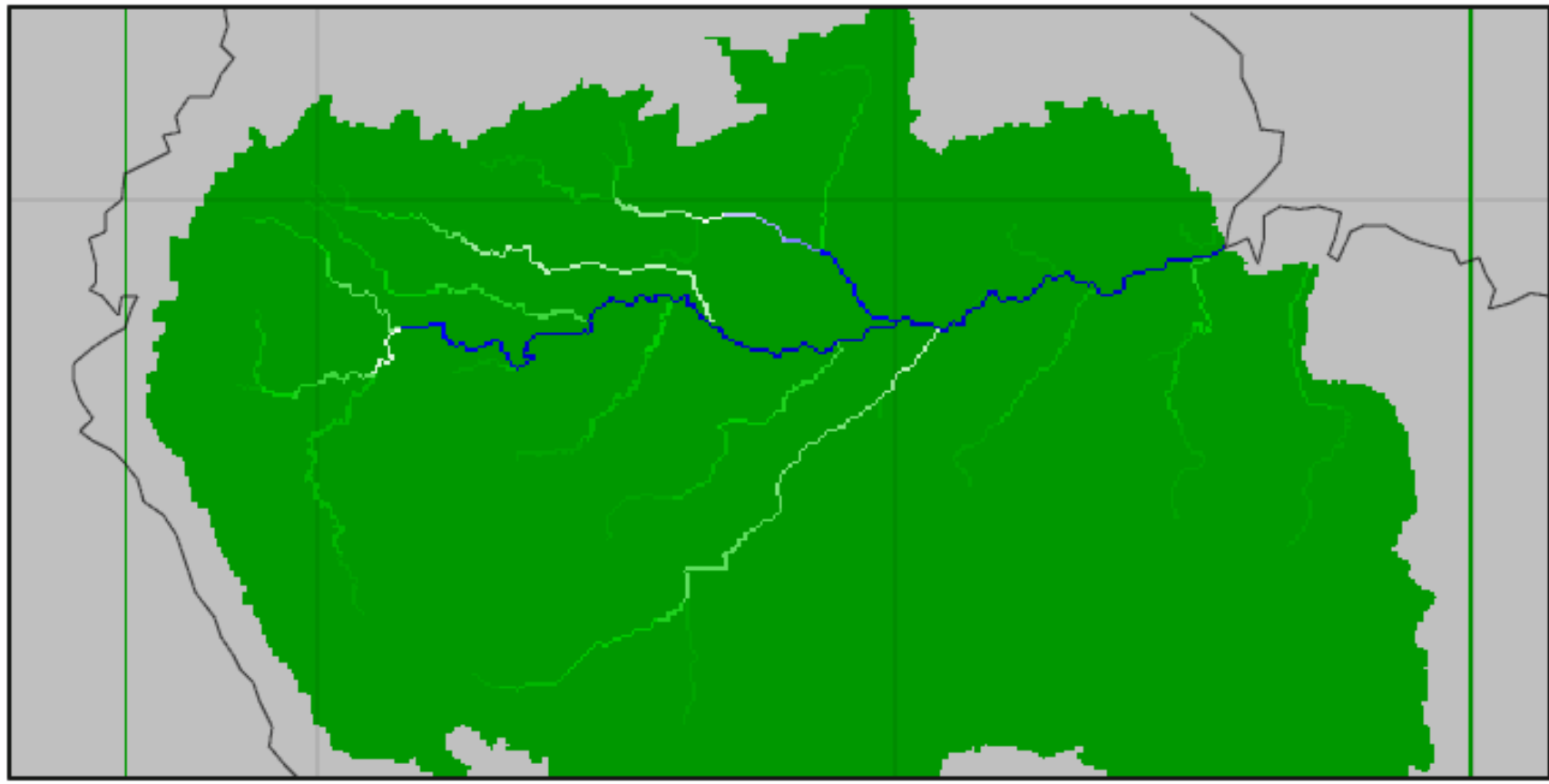
Define a planície de inundação com modelo digital de elevação SRTM

Aplicações 2-D no Amazônia

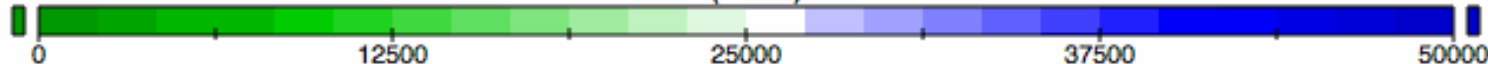


Descarga

October 1968



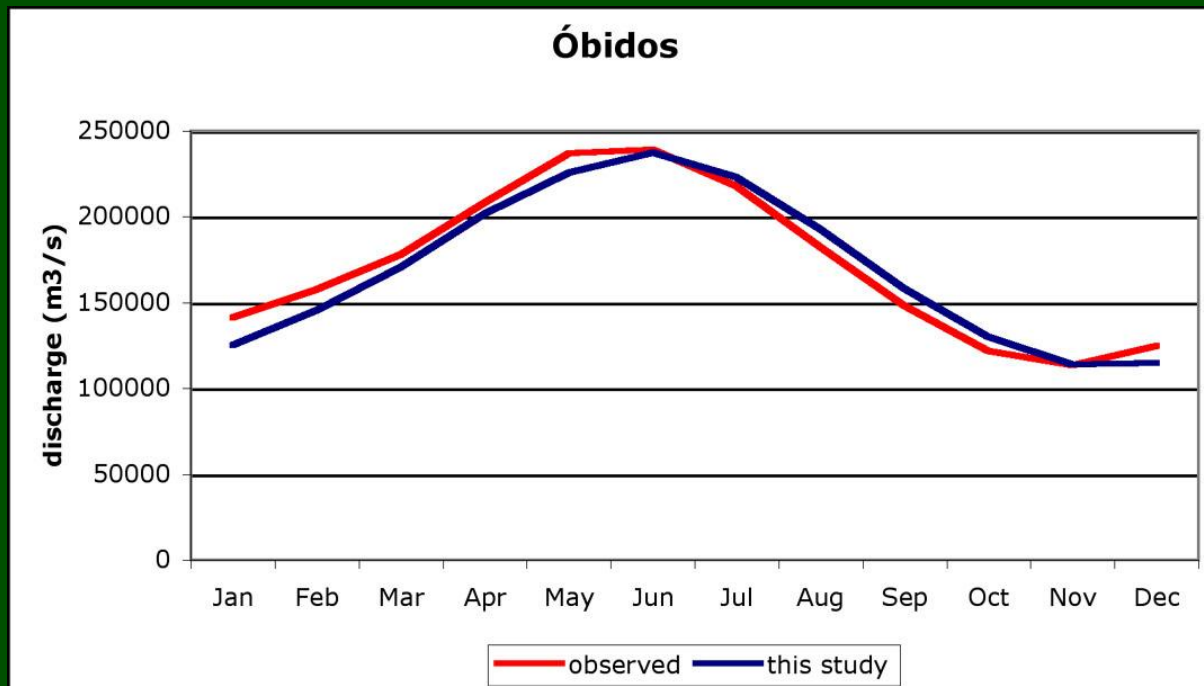
- (m³/s)



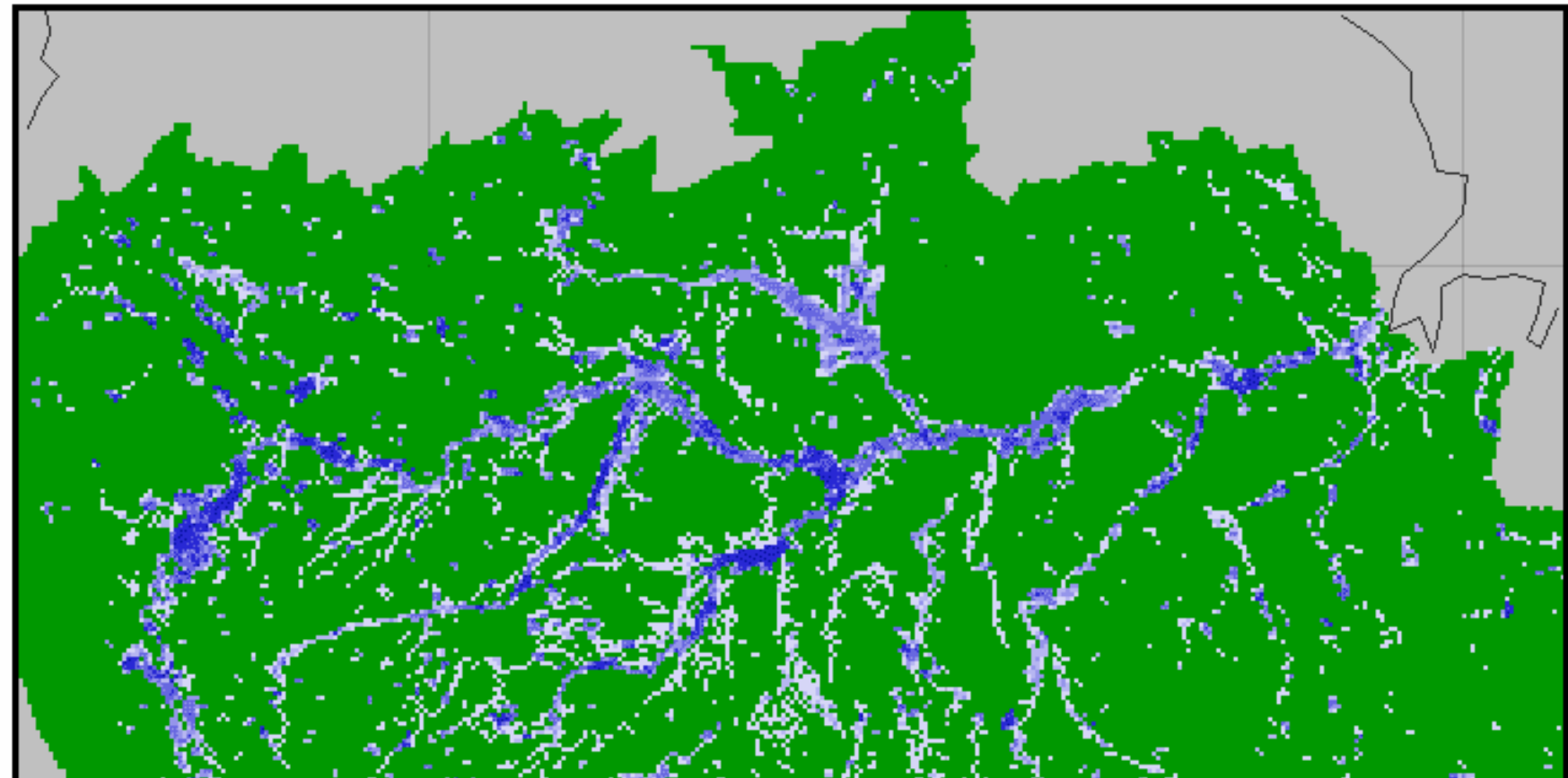
Region bounded by -83.0°E, 5.0°N, -43.0°E, 15.0°N

Data Min = 0, Max = 228539.375

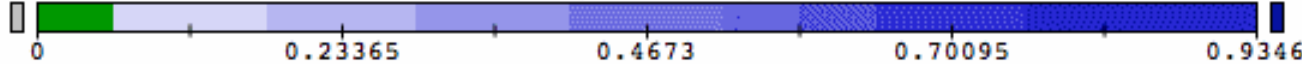
Descarga



□ Área de inundação



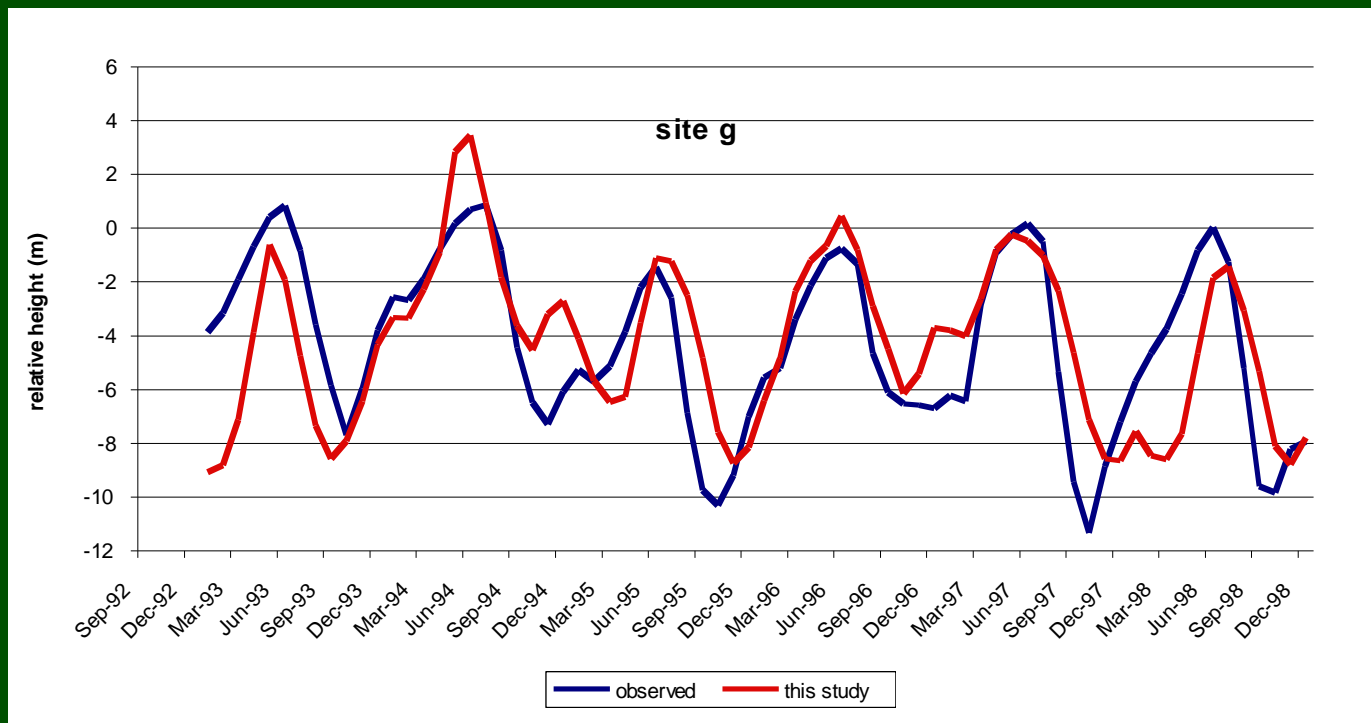
- (fraction)



Region bounded by -78.0°E, 5.0°N, -48.0°E, -10.0°N

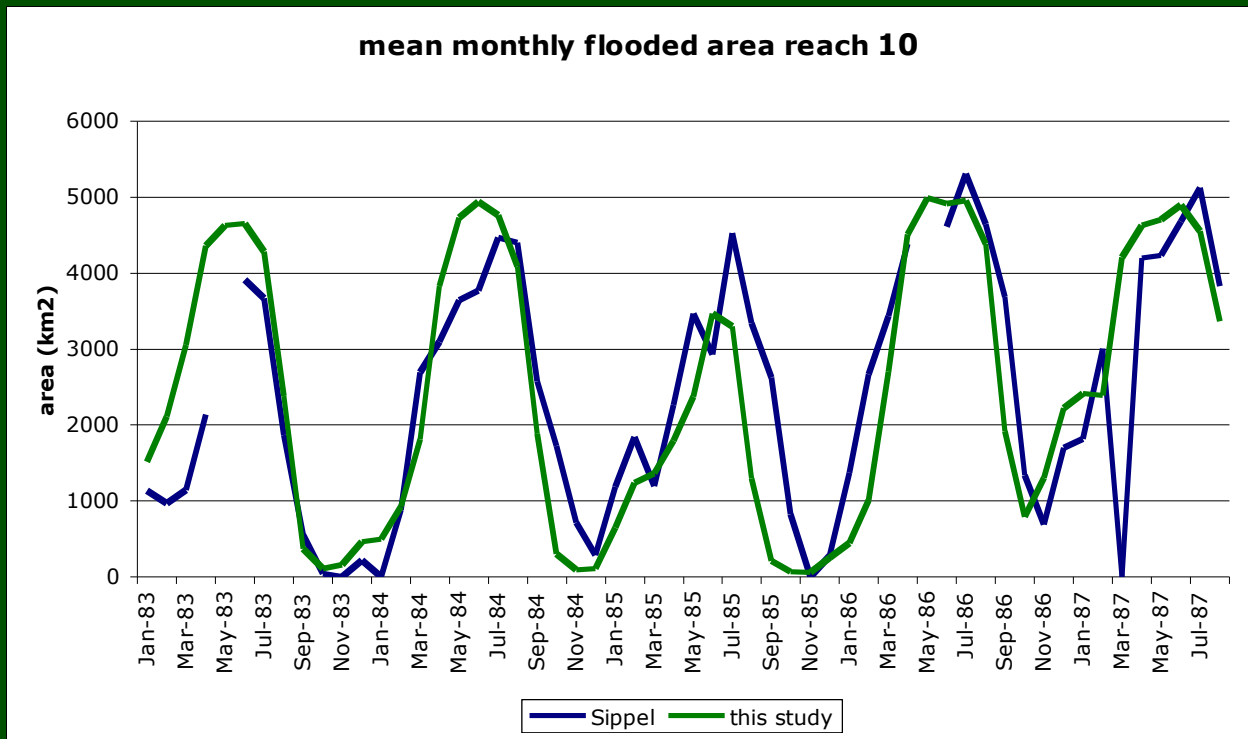
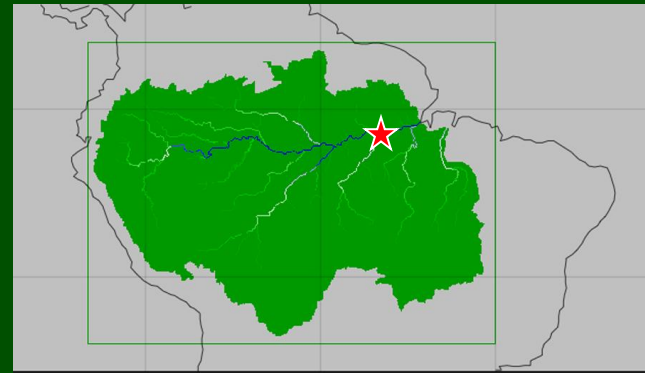
Data Min = 0, Max = 0.9346

Altura da Água



Comparação de altura da água relativa, medida por altímetro radar TOPEX/Poseidon e simulado pelo modelo. $r^2 = 0.66$

Área de inundação



Observações de Sippel et al., 1998



Desmatamento

Local impacts:

- Decreased ET, increased T, increased runoff

Continental scale impacts:

- Climate feedbacks, decreased rainfall and runoff at least regionally

Combined impacts:

- Greater extremes and potentially further reduction in forest area

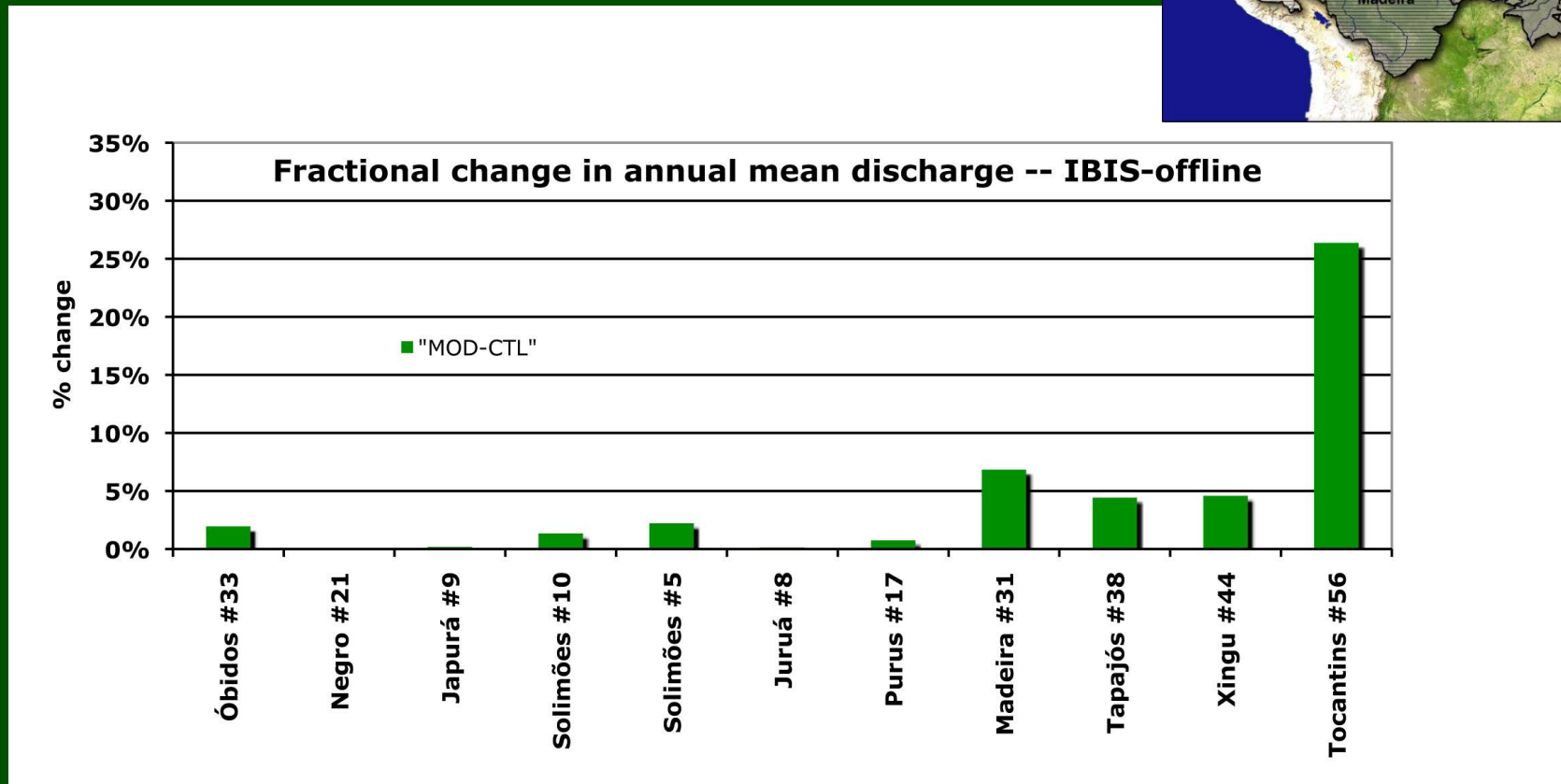


1. Has land cover change affected streams already via decreased evapotranspiration?

Two simulations with IBIS & THMB alone with identical climate (1939-2000), but agriculture, represented by grass, replacing forest in the modern simulation

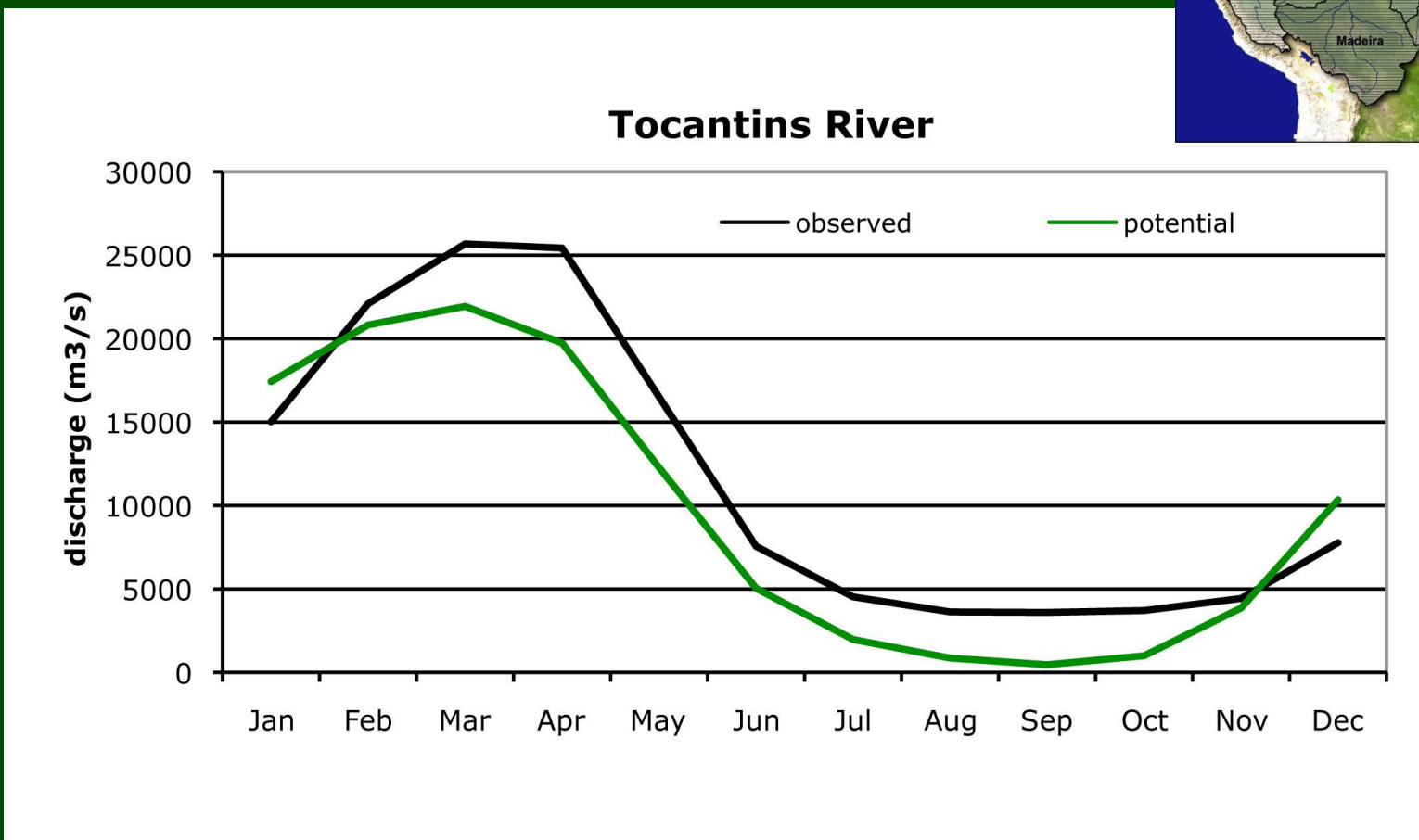
Any difference in simulated evapotranspiration and discharge is a function of land cover change alone

Moderno menos o potencial



O aumento da descarga é proporcional à desmatamento

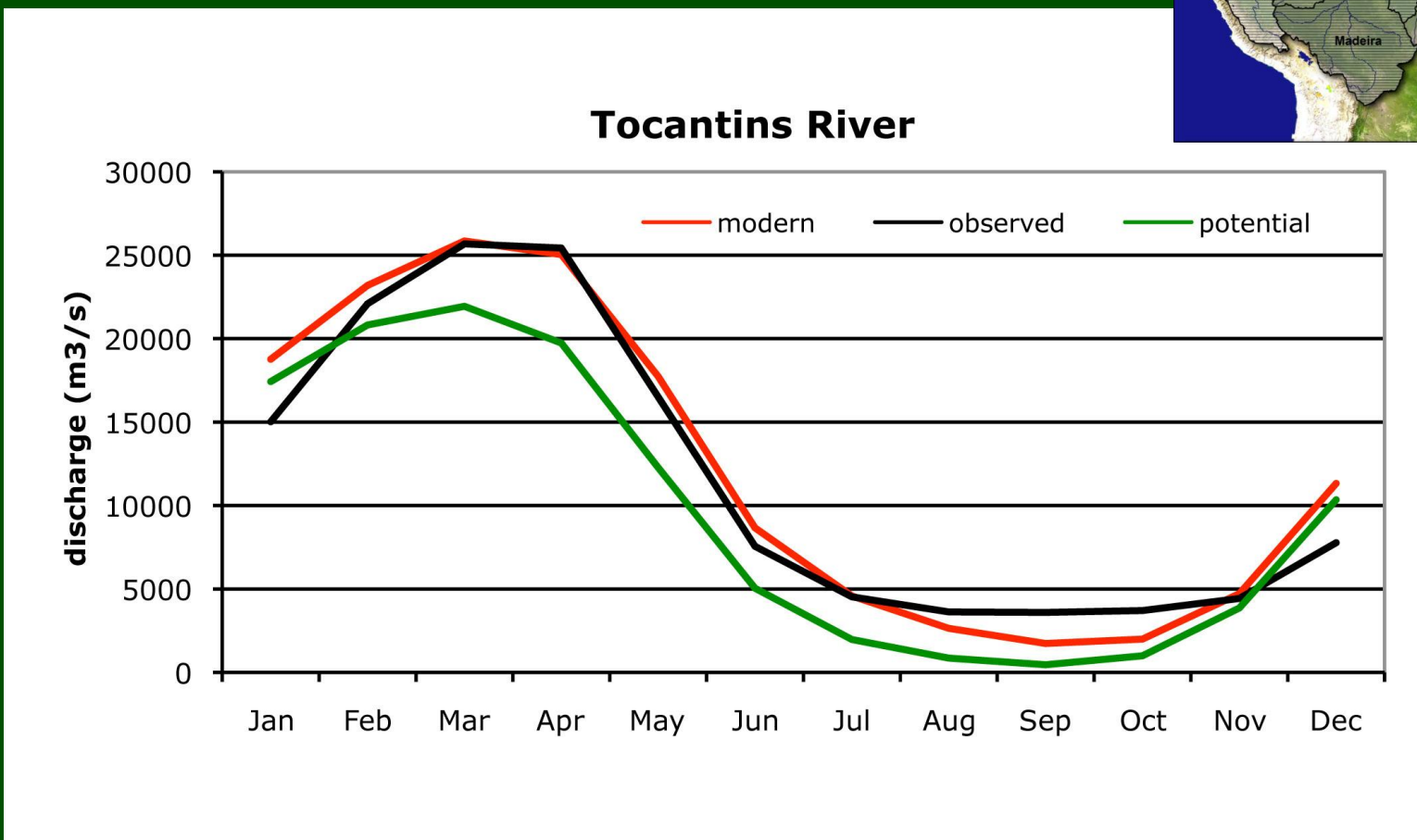
Tocantins River – 1990s



Descarga observada, preto

Descarga simulada sim desmatamento, verde

Tocantins River – 1990s



Descarga observada, preto

Descarga simulada sim desmatamento, verde

Descarga simulada com desmatamento, vermelho



Original Question

I. Has land cover change affected streams already?

Yes, in SE Amazonia simulated discharge agrees with observations in the 1990s only if land cover change is included

Strongly suggests that observed change in discharge over the last few decades is largely a result of deforestation

Future Land Cover Scenarios



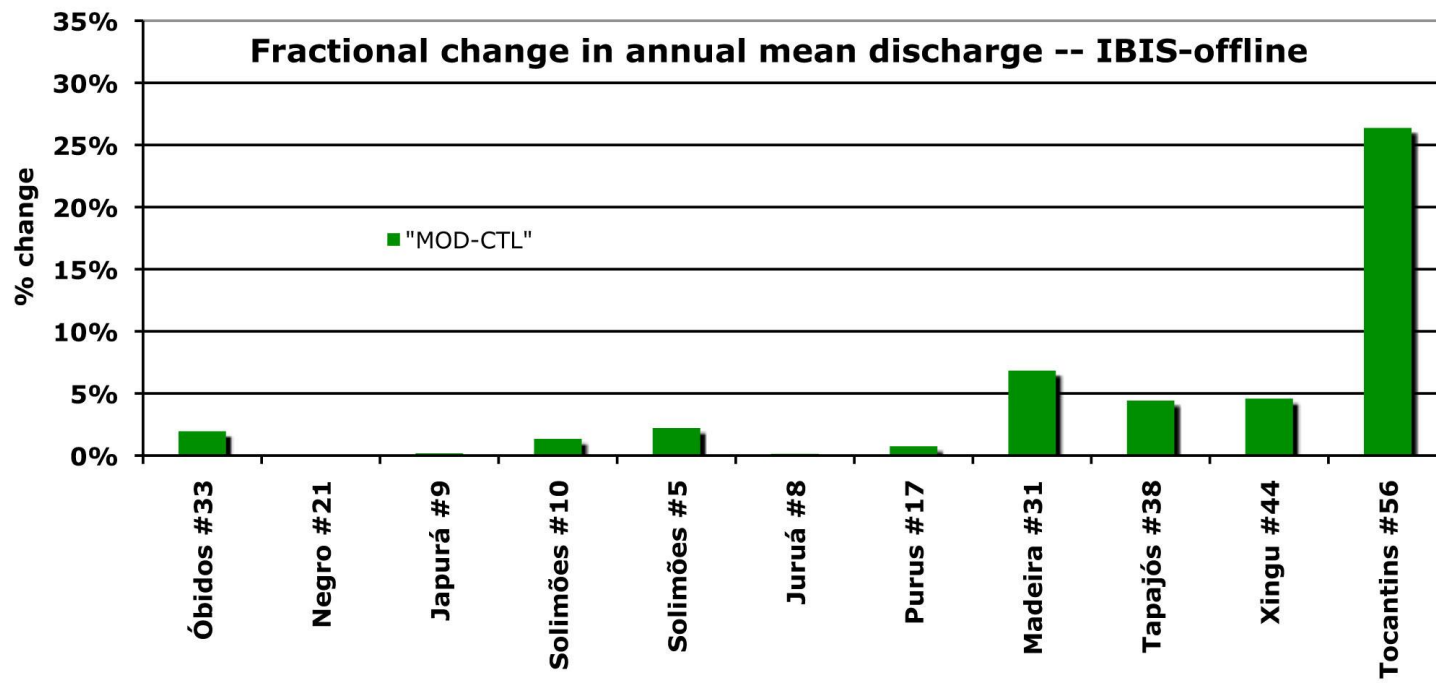
2. Are future atmospheric feedbacks to rainfall of potentially important scale?
3. Are there important differences in future scenarios for the Amazon River?

Two sets of simulations:

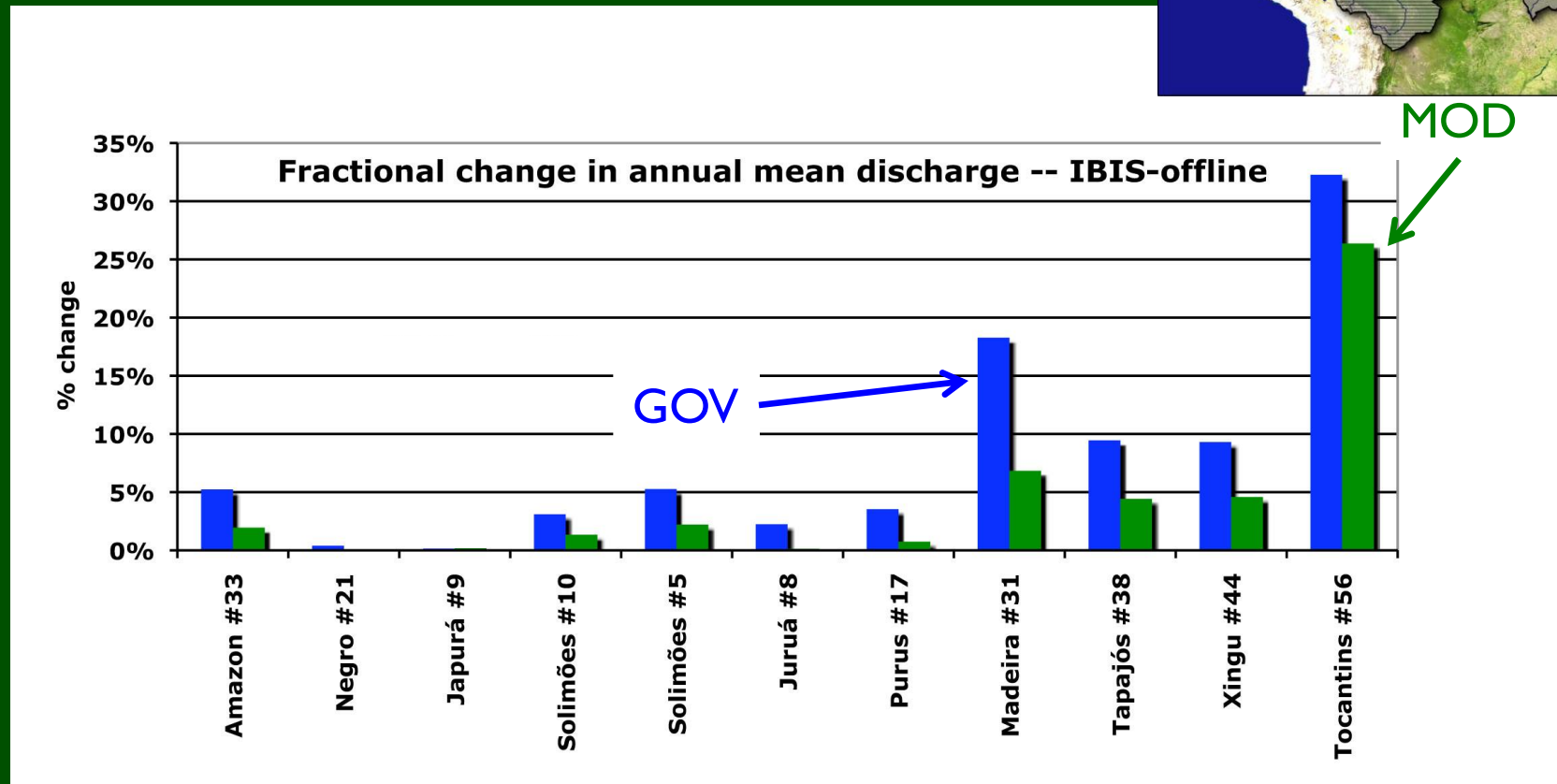
IBIS/THMB alone with prescribed historical climate 1939-2000 and different land cover scenarios – the effect of future land cover change alone

CCM3/IBIS/THMB coupled with dynamic climate and different land cover scenarios – the effect of future land cover change and climate feedbacks

IBIS/THMB Modern Deforestation and Prescribed Climate

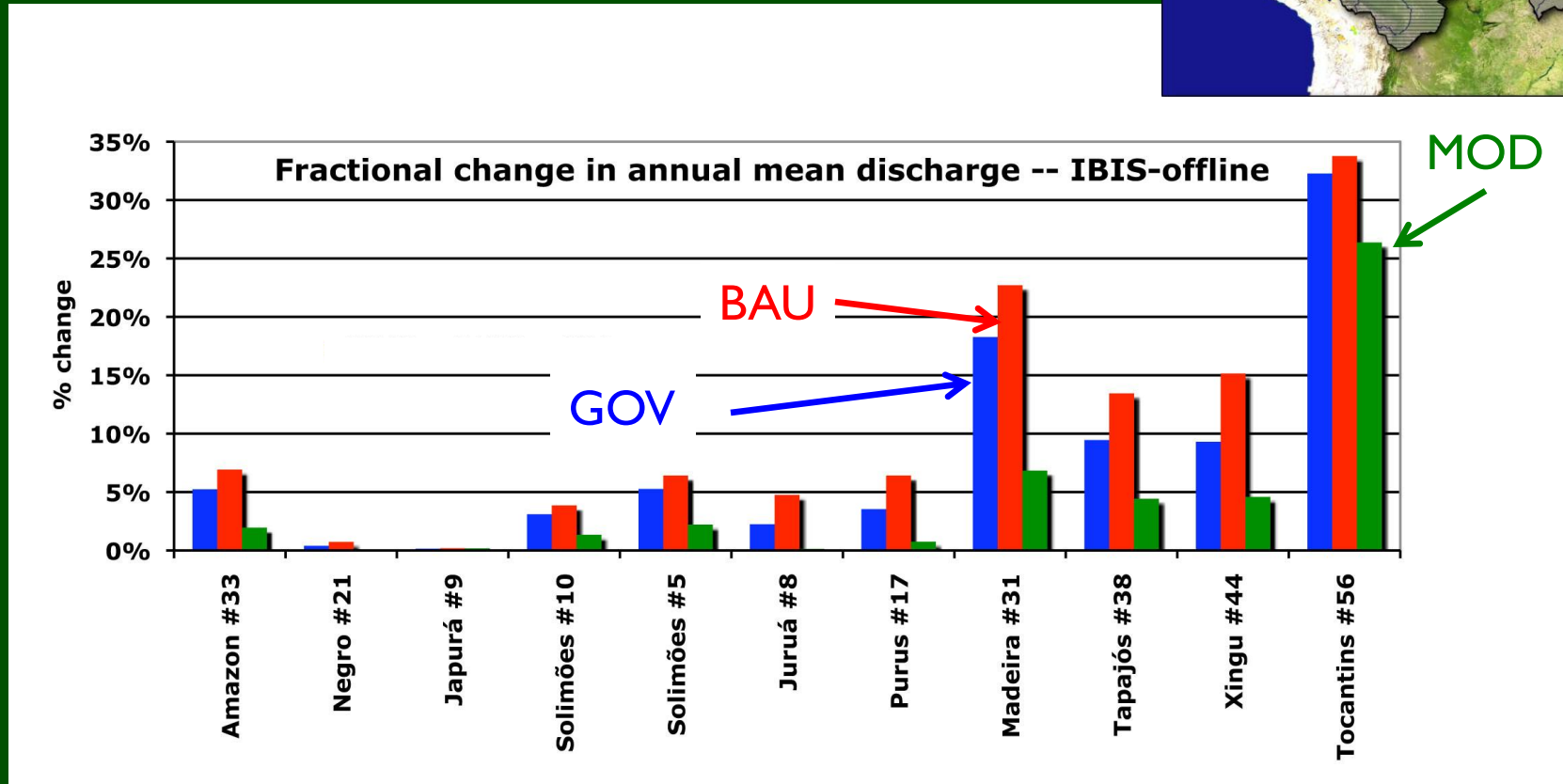


IBIS/THMB – Future Deforestation Scenarios and Prescribed Climate



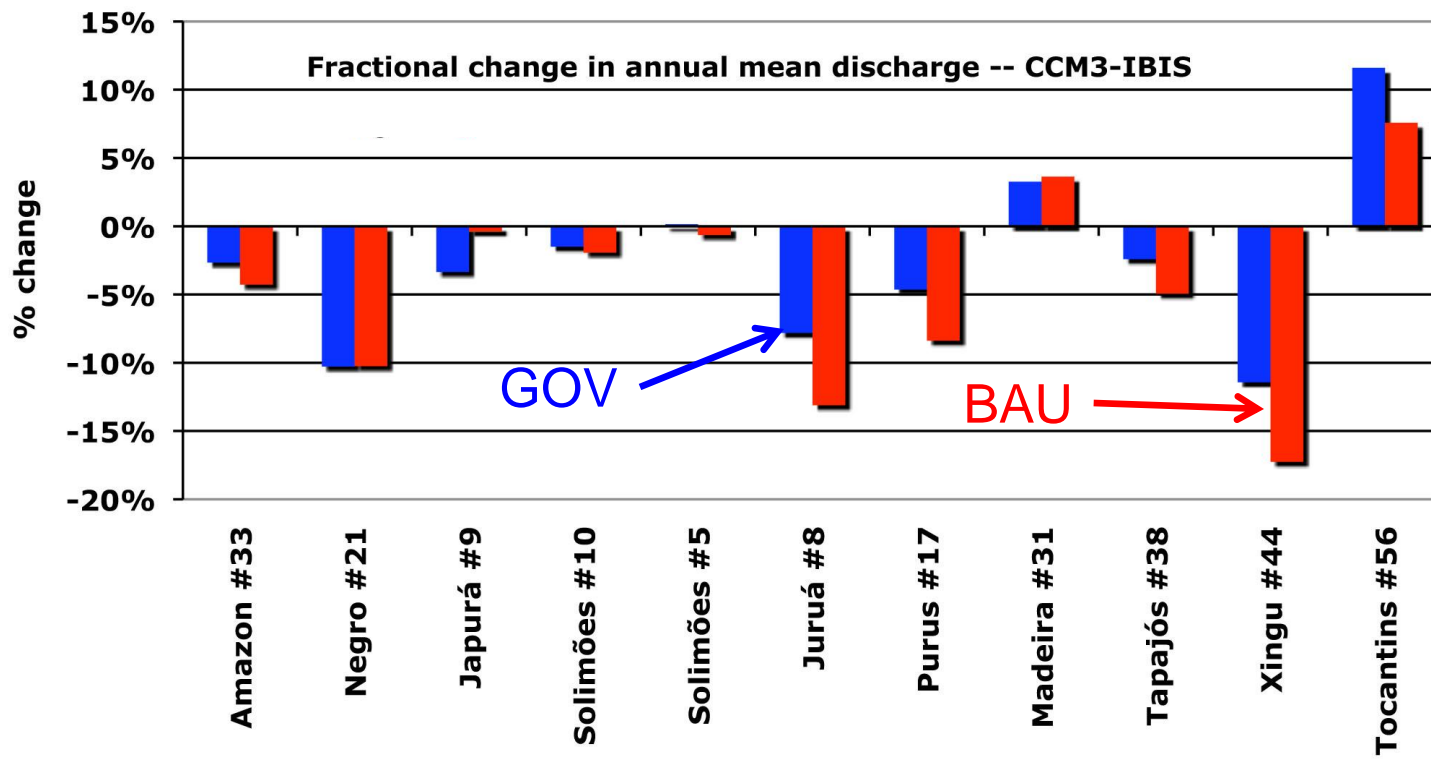
In absence of atmospheric feedback predicted change is large in SE Amazonia

IBIS/THMB – Future Deforestation Scenarios and Prescribed Climate



In absence of atmospheric feedback predicted change is large in SE Amazonia

CCM3/IBIS/THMB Coupled - Future Deforestation Scenarios and Dynamic Climate

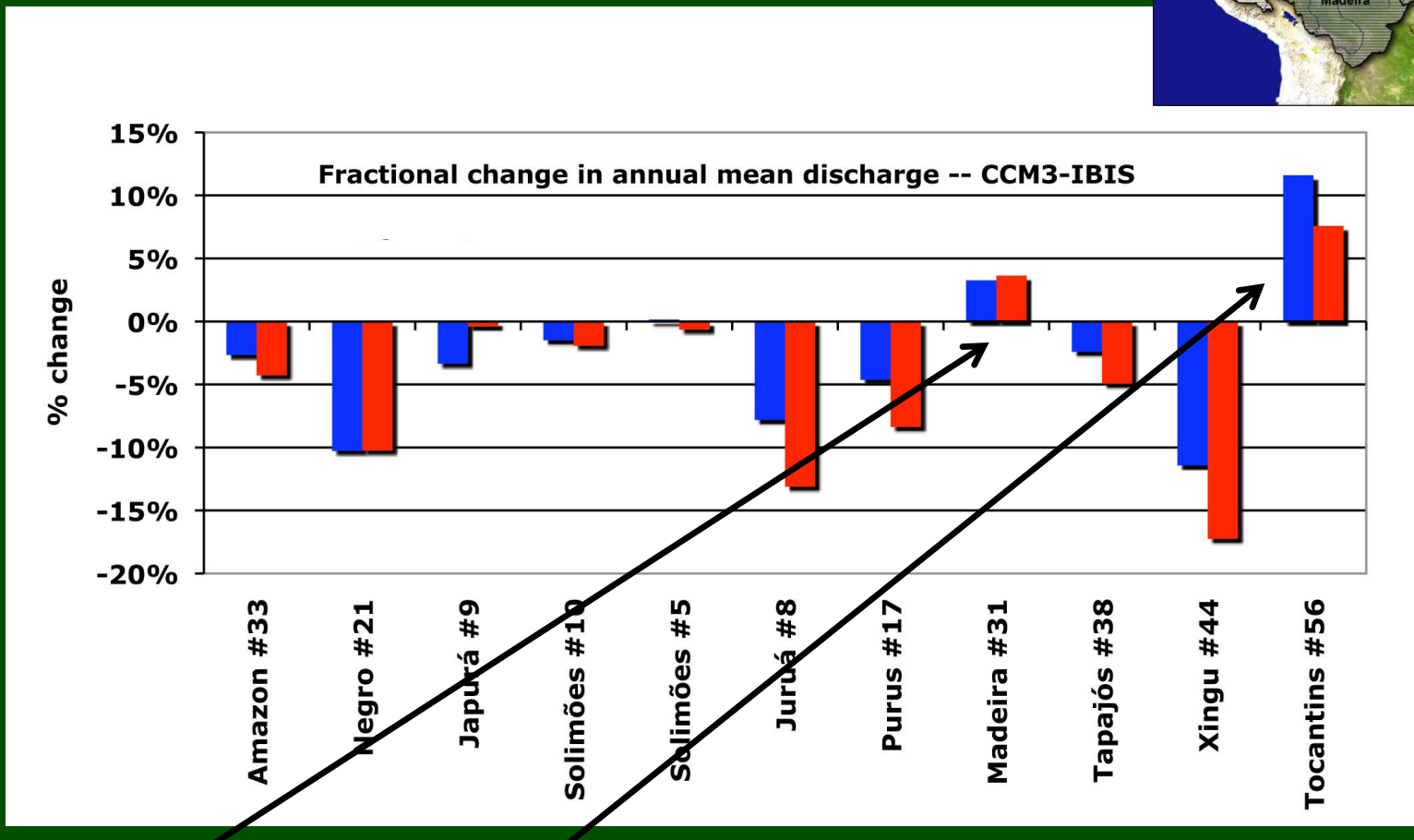


Precipitation decrease in ALL basins (5-20%)

Discharge decrease in most basins

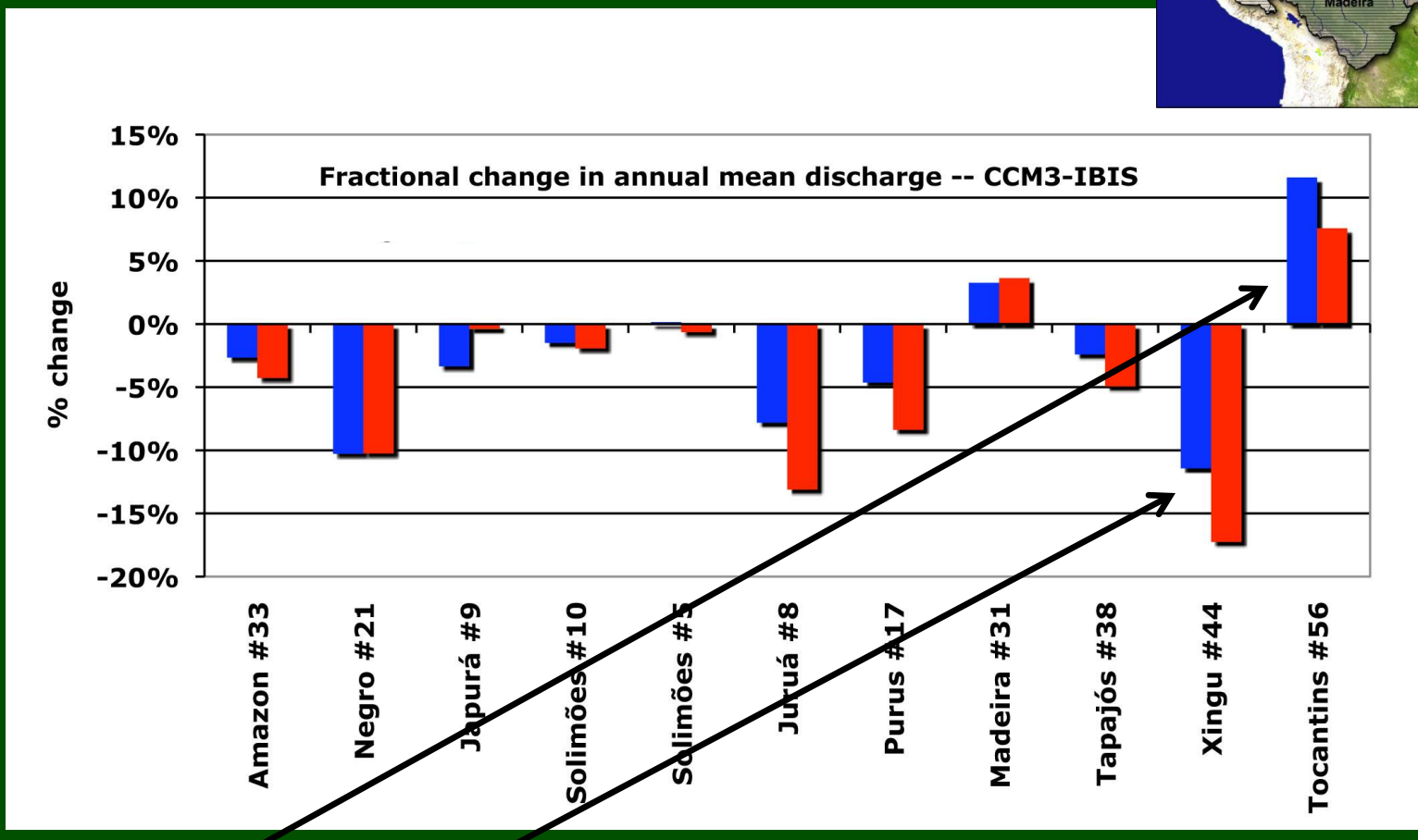
Significant difference between GOV and BAU

CCM3/IBIS/THMB Coupled - Future Deforestation Scenarios and Dynamic Climate



Madeira and Tocantins have largest deforested areas (GOV = 41%, 80%)
Net positive change because the local ET decrease is large

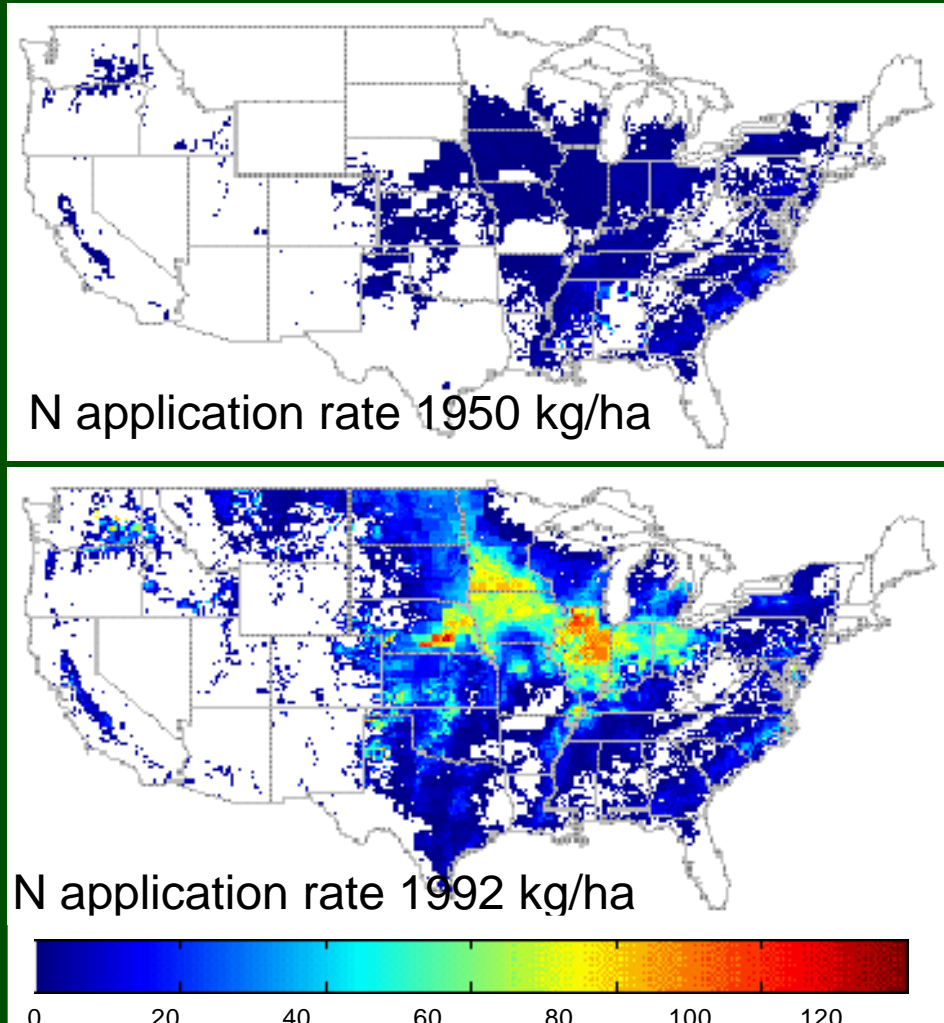
CCM3/IBIS/THMB Coupled - Future Deforestation Scenarios and Dynamic Climate



Tocantins and Xingu have similar precipitation decrease (GOV = -15%)
Xingu is less deforested (25% vs 80%) and ET decrease is less

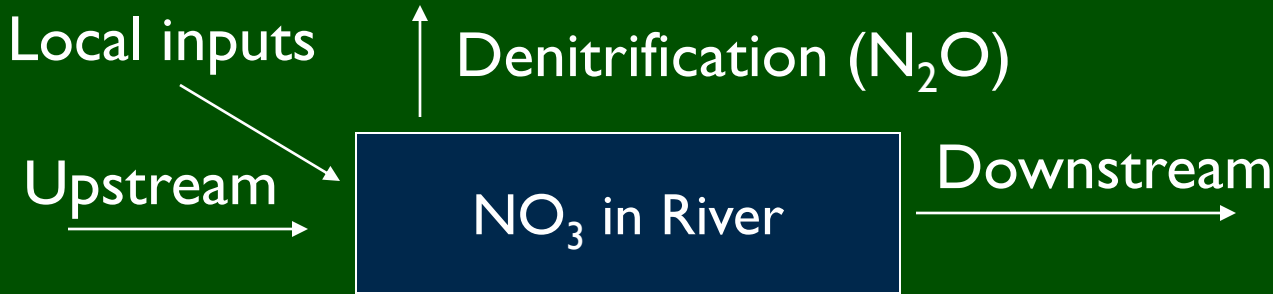
Nitrôgenio

Os fluxos do nitrôgenio aumentaram muito e afetam os rios e oceanos



Donner et al., 2002; Donner and Kucharik, 2003

Nitrôgenio



$$\frac{dN}{dt} = N_l(I - A_w) + (\sum N_{in} - N_{out}) + P - dC - L$$

$$N_l = N_{surface} + N_{sub-surface}$$

(N local, IBIS)

$$\sum N_{in} = \sum N_{out}$$

(N input montante)

$$N_{out} = N(u/d)$$

(N jusante)

$$P = 0$$

(N de ponto)

$$dC = 0$$

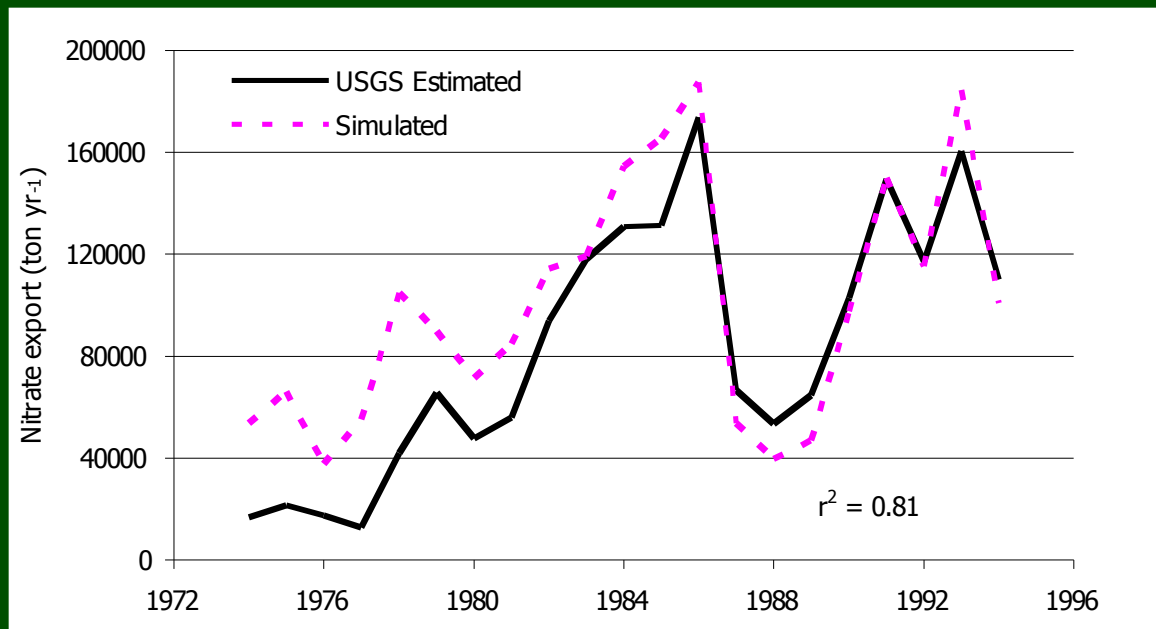
(transformações)

$$L = f(T)$$

(processos do córrego)

Nitrogênio no rio

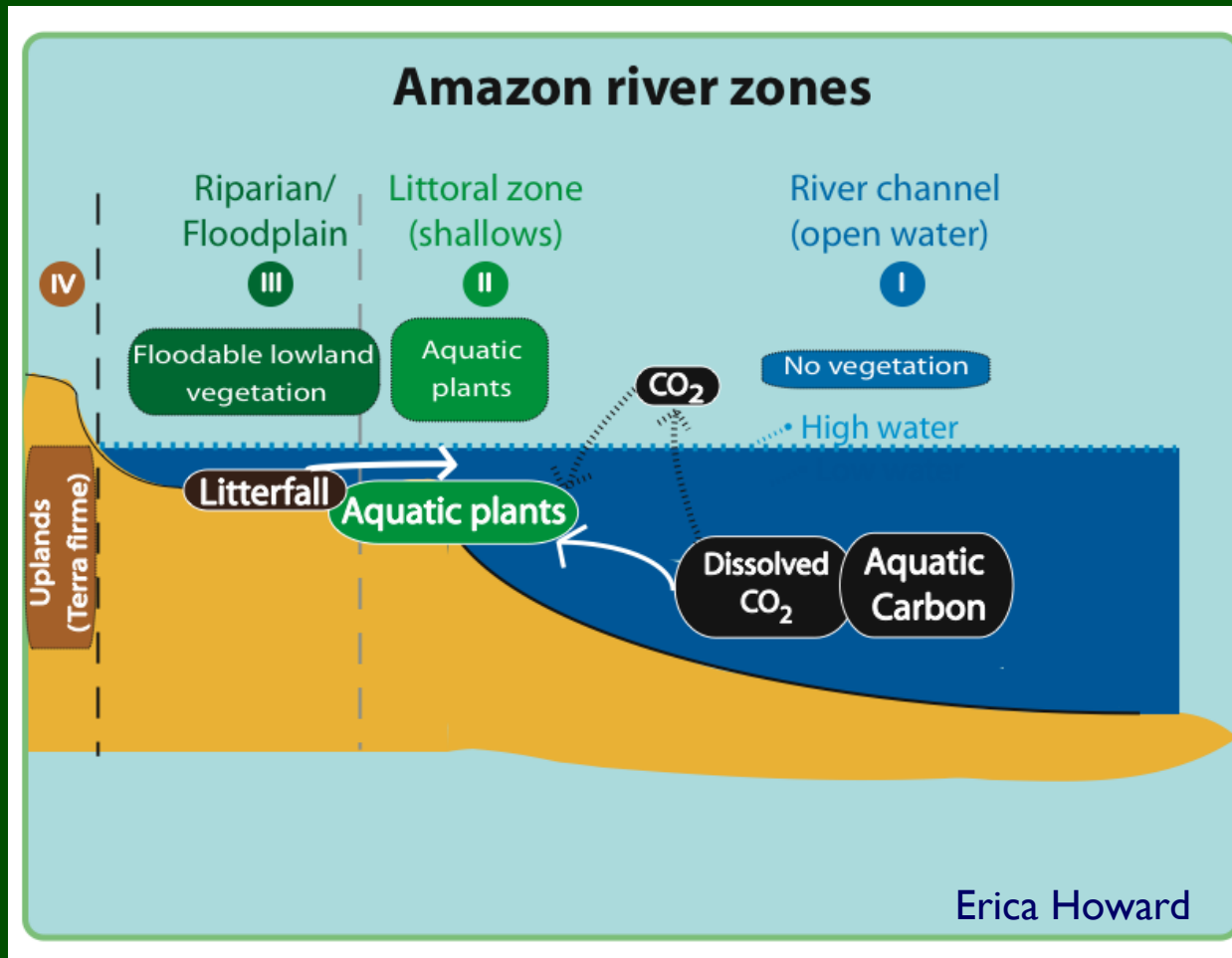
Nitrate export: Mississippi River at Clinton, IA



- O fluxo simulado do nitrato compara bem com as observações do USGS
- O fluxo é concentrado nas regiões onde o milho é crescido
- 75% da mudança no fluxo é devido ao uso aumentado do fertilizante

Donner et al., 2002; Donner and Kucharik, 2003

Carbono



No futuro: combina o modelo do rio e planície do inundação com o modelo do ciclo de carbono

A wide-angle photograph of a tropical wetland. In the foreground, a dark blue river or lake stretches across the frame. The banks are densely lined with various tropical trees, including several large palm trees with distinct feather-like fronds. Some dead or bare trees are also visible among the greenery. The background shows a distant shoreline with more vegetation and a bright blue sky filled with white and grey cumulus clouds.

Obrigado

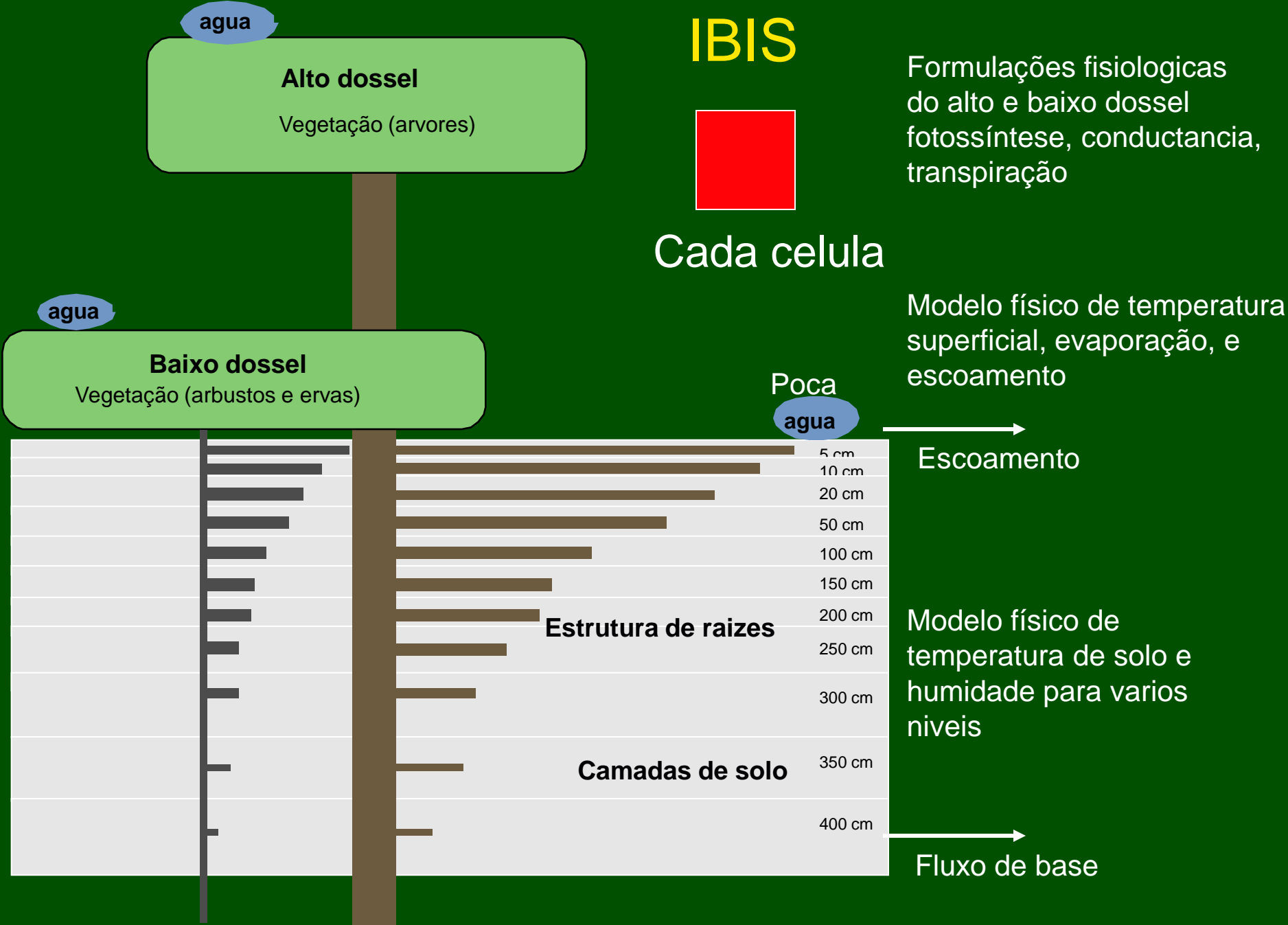
IBIS combina:

- Dados climáticos (precipitação, velocidade de vento, humidade, nuvens)
- Representações físicas de vegetação, terra e dinâmicos de solo

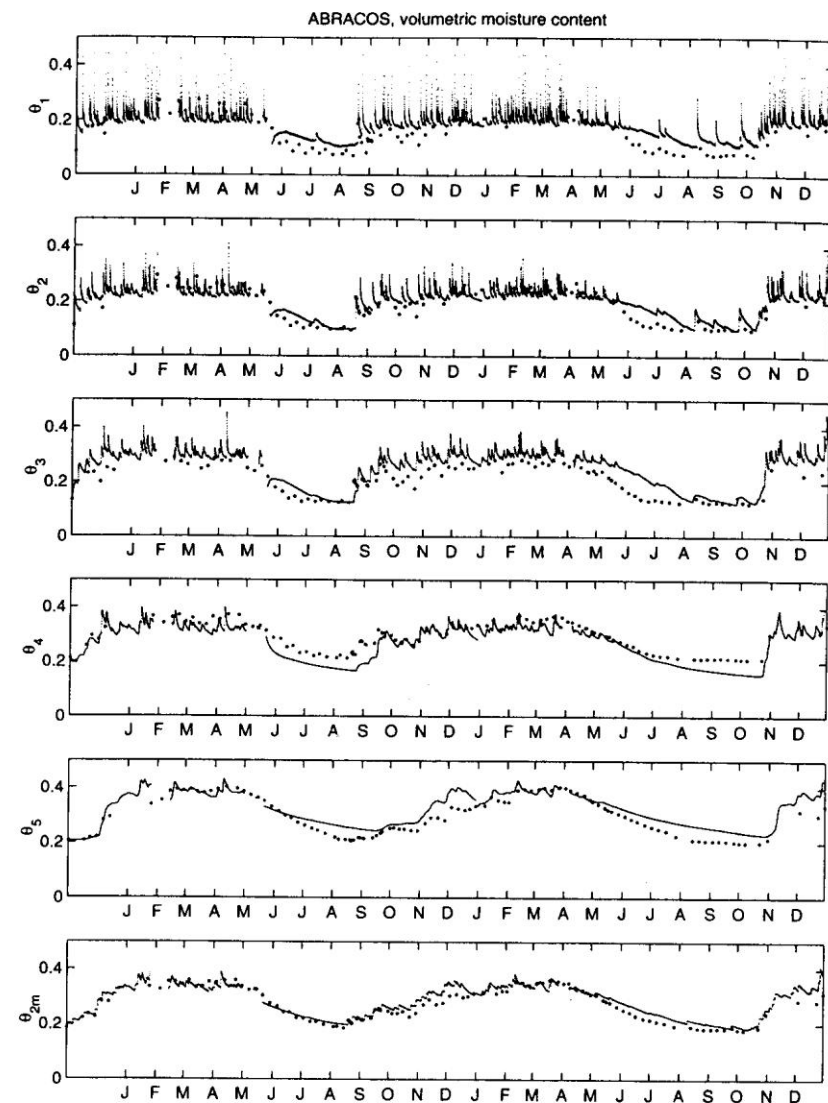
Para simular:

- Ciclagens de água, carbono, nitrogênio entre vegetação, atmosfera e solo
- Movimento vertical de água na coluna de solo
- Evaporação como uma função de humidade do solo, demandas estomatais, e estrutura de vegetação e raízes
- Fluxo de base e escoamento superficial como resíduo de precipitação entrando e evapotranspiração saindo

IBIS



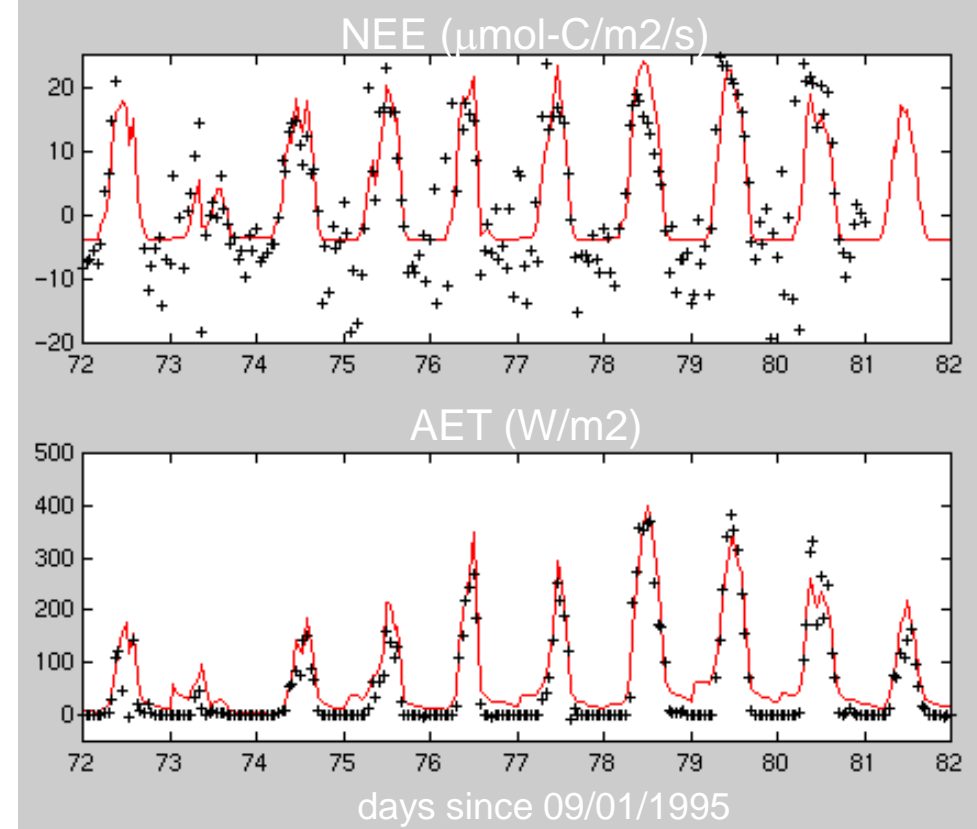
Avaliação do IBIS ao nível local: medidas de torres de fluxo



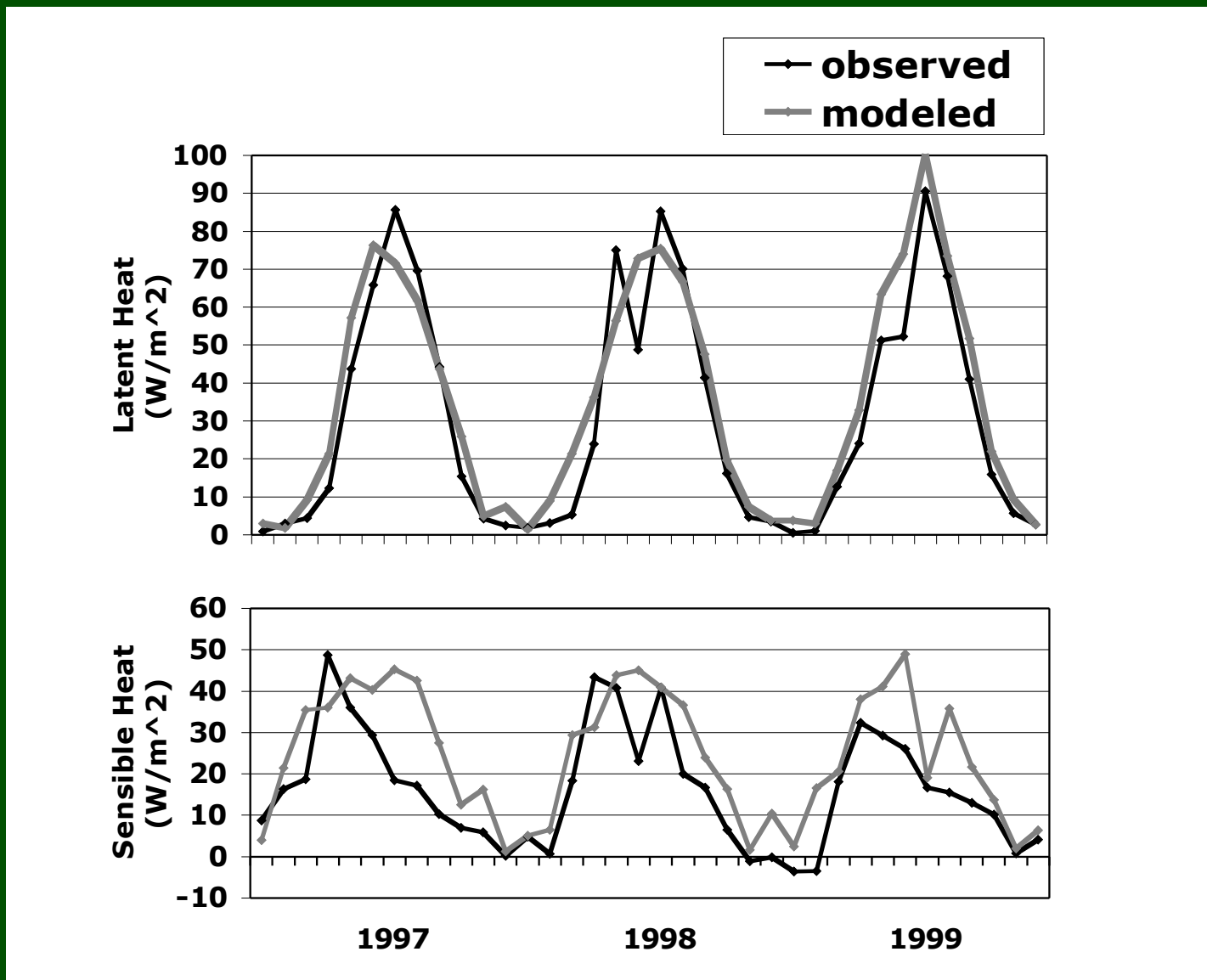
Jaru (Delire *et al.* 1999)

Caxiuana (Sílvia de N. Monteiro dos Santos and Marcos Costa work)

Aplicação 1-D



Cuieiras (observed data from Mali *et al.*, 1998)



Fluxos de calor latente e sensível medidos na Torre de Fluxo WLEF (Parkfalls, Wisconsin) e comparados com resultados de modelos do IBIS. Vano et al.

Large-scale 2-D application

Data needs - Gridded input data for region of interest

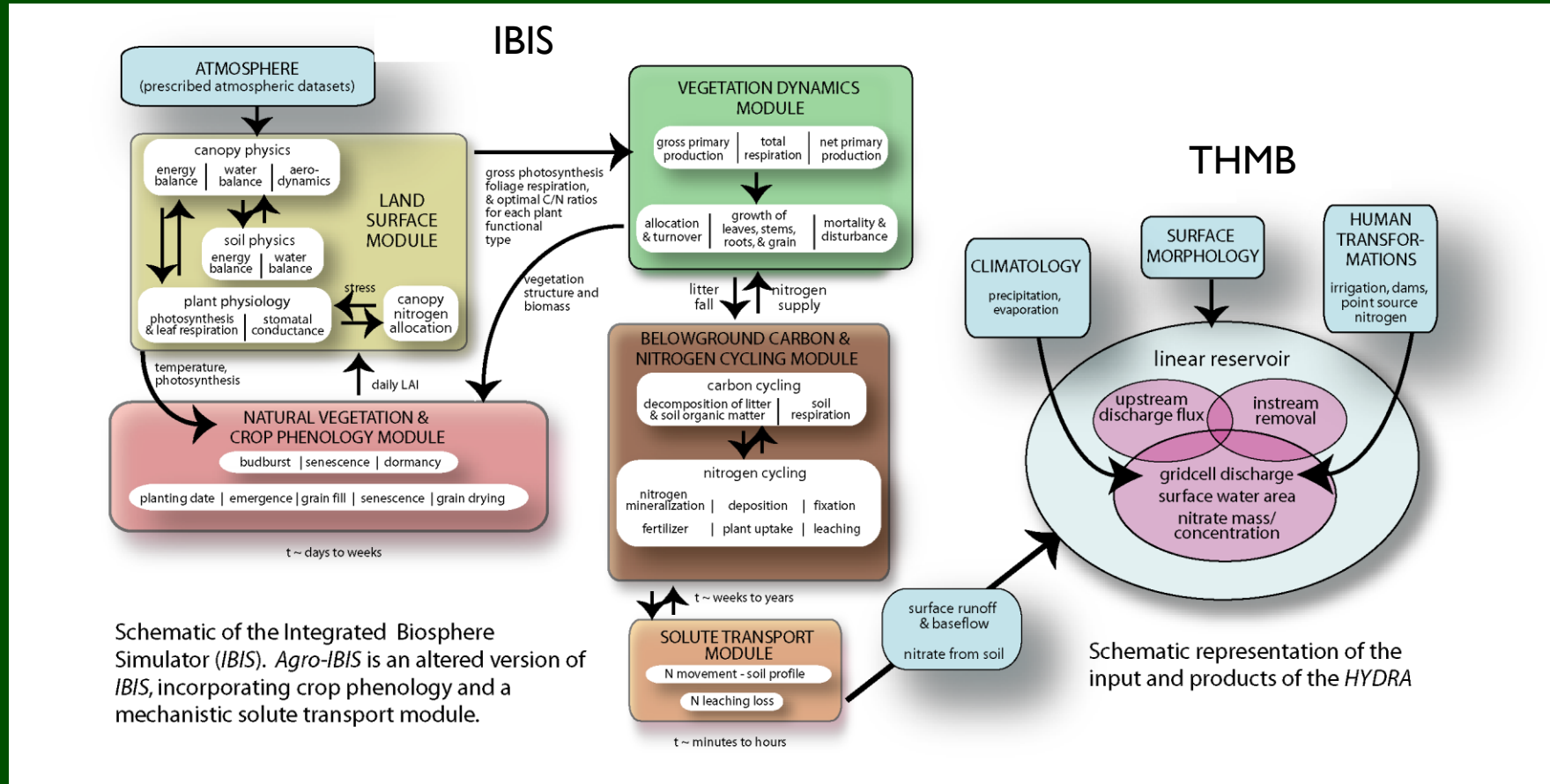
Climate:

- precipitation
- temperature
- humidity
- wind speed
- cloudiness (% sunshine)

Land:

- soil (texture, depth)
- biome classification (savannah, tropical evergreen forest, etc)
 - % vegetation cover of trees, grasses, and shrubs
 - Structural qualities (canopy height, LAI, root depth and density, etc)

Modelos IBIS-THMB



- Modelos mecanisticos de função de plantas e solo
- Divide precipitação e radiação
- Transporte escoamento e solutos na paisagem para simular rios, lagos e areas Pantanosas

Kucharik et al., 2000; Coe et al., 2007